# 藉过硫酸钾-茜素紫催化法测定痕量铅

顾志澄 张羽蓓

(同济大学化学系)

#### 摘 要

茜素紫被过硫酸钾氧化褪色的反应能被 Pb2+ 催化,可用于催化光度法测定痕量铅。 在pH8.2的硼酸缓冲溶液中,过硫酸钾和茜素紫的浓度分别为10.03 和 3.75×10-5 mol/L 时,用固定时间法测定铅的灵敏度为1.255吸光度值  $(\mu g/mL)^{-1}$ 。 $Bi^{3+}$ < 3.5 $\mu g/mL$  时不 干扰. Ag+, Cu2+, Cd2+, Zn2+, Fe3+的干扰可用掩蔽除去, 但Ag+超过5µg/mL 时不 能掩蔽。

由于铅能抑制血红蛋白合成过程中的酶体系,而引起卟啉代谢障碍,以及对脑中葡萄 糖的代谢过程有明显的抑制作用,并导致脑组织缺氧产生弥漫性脑损伤[1], 近年 来 环 境中痕量铅的测定越来越被重视。为了保障健康,研究了天然水[2]、气溶胶[3]、食物 如菠菜[4]、软饮料[6]、粮食和茶叶[6]及盛食品的塑料盒[7]中铅的测定。所用的方法 有原子吸收[2-4;8]、电化学法[5]、催化法[7]等。催化光度法灵敏度较高,而又不需特 殊设备,易于推广。它主要借助于过硫酸钾氧化偶氮染料和三苯甲烷染料作为 指示 反 应[8-10]。我们发现铅能催化过硫酸钾氧化茜素紫,故可用作测定痕量铅的指示反应。

### 实验部分

#### 1. 仪器

第9卷 第2期

1990年4月

微型计算机与分光光度计联机系统 本实验室组装。将721型分光光度计的比色座 架拆除,改装成一恒温槽,恒温循环水由超级恒温槽供给。光度计的光电倍增管输出的 电信号经电压放大器放大到A/D转换所需的量程范围, 然后经A/D转换输入 Mic-80 计 算机,在此CPU与I/O 之间的信号传递采用同步方式。整套仪器经调试后得出的主要参 **数: 光度检出信噪比为100:0.024;** 实时控制相对误差为0.1%s.

酸度计 pH S-2型。

#### 2. 试剂

铅标准溶液 用硝酸铅配制成每毫升含1mg铅的溶液,用标准 EDTA 溶液标定其浓 度,以此作为贮备液,临用前稀释至所需浓度。

硼酸缓冲液 0.1mol/L 硼酸和0.025mol/L 硼砂按算出的比例混合, 最后用酸度计 测定,并调至所需的pH值。

过硫酸钾溶液 0.24mol/L, 临用前配制。

茜素紫(AV)溶液 3×10-3 mol/L, 临用前配制。

本实验所用的水均为亚沸蒸馏水,所用的玻璃器皿均用 1:1 硝酸浸泡处理,试剂均为分析纯。

3。实验方法 含铅试液1ml,加pH8。2硼酸缓冲液1ml,过硫酸钾0。5ml,水1ml,混匀,置比色皿中,30℃恒温,再加入30℃的茜素紫 0。5ml,迅速混匀。同时在530nm 记录吸光度-时间曲线。外推至 t=0,求得反应的初速度  $v=-\frac{dA}{dt}$ 。

## 结果与讨论

#### 1. 吸收光谱

图 1 为茜素紫 (1) 及其氧化产物(2)的吸收光谱。茜素紫在 530nm 有最大 吸收,而其氧化产物几乎无吸收,故可在此波长测茜素紫的吸收减小。

#### 2. 反应条件

- 2.1 pH的影响 图 2 为反应时间为 200s 时, $0.4\mu$ g/ml Pb<sup>2+</sup> 存在下,与空白溶液 茜素紫吸光度的差值随pH的变化。在pH为8.2时,Pb<sup>2+</sup> 对指示反应的催化效应最大。
- 2.2 试剂浓度的影响 实验得出,缓冲溶液的浓度增大,反应速度降低,这可能是由于具有邻苯二酚结构的试剂能与硼络合所致。图 3 是 2.5×10<sup>-5</sup>mol/L 茜素紫在不同浓度的 pH8.2硼酸缓冲液中的吸光度变化。由此可知,增大缓冲液浓度,无异是降低游离的茜素紫浓度,因而使反应速度下降。故在保证足够缓冲量的前提下,应尽量减小其用量。在本实验中采用1ml。

过硫酸钾浓度对反应速度的影响如图 4. 考虑到操作中反应速度过快不易掌握,实验中采用0.03mol/L.

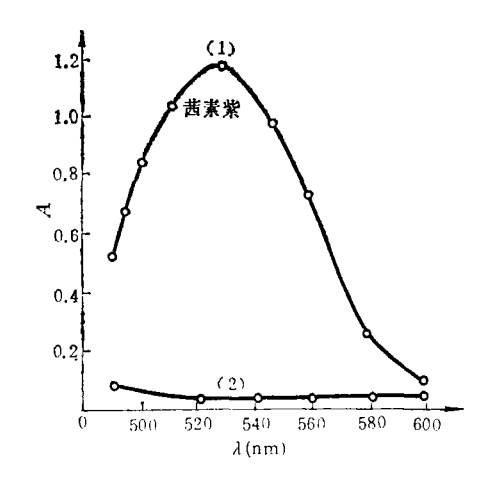


图 1 茜素紫及其氧化产物的吸收曲线 Fig. 1 Absorption spectra of alizarin violet(1) & its oxidation product(2)

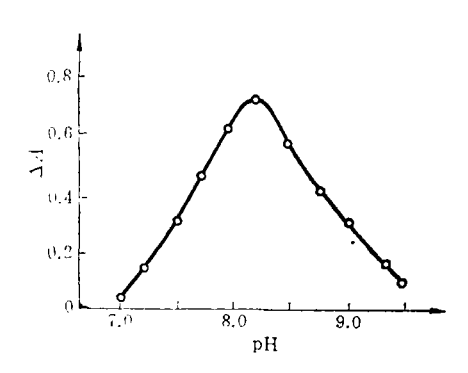


图 2 pH 的影响 Fig. 2 Effect of pH on reaction rate

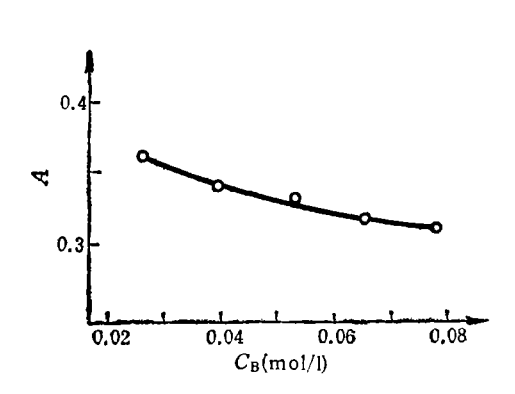


图 3 茜素紫的吸光度与硼浓度的关系 Fig. 3 Relation between absorbance of

alizarin violet & the concentration of boron

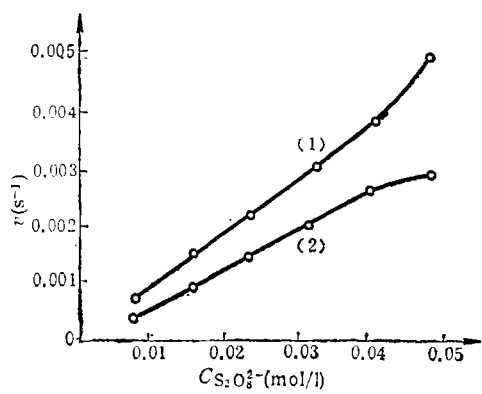
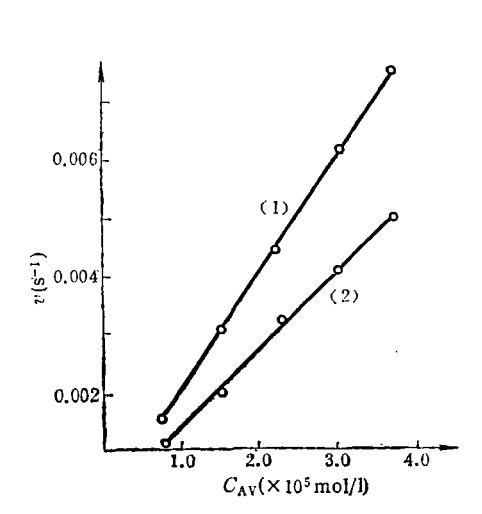


图 4 K<sub>2</sub>S<sub>2</sub>O<sub>8</sub> 的影响

Fig. 4 Relation between the reaction rate & the concentration of  $K_2S_2O_8$ 

- 1. Catalyzed reaction
- 2. Uncatalyzed reaction



■ 5 茜素紫浓度的影响

Fig. 5 Relation between the reaction rate & the concentration of AV

- 1. Catalyzed reaction
- 2. Uncatalyzed reaction

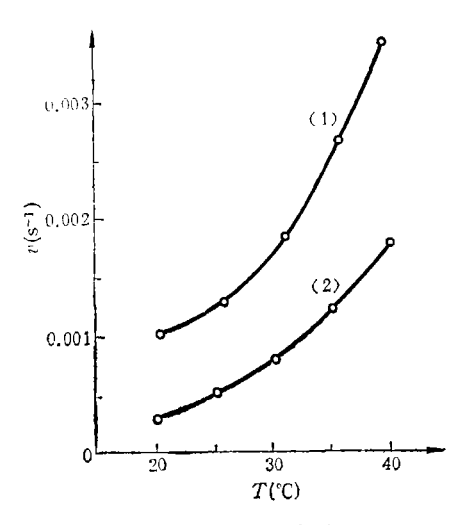


图 6 温度的影响

Fig. 6 Relation between the reaction rate & the temperature

- 1. Catalyzed reaction
- 2. Uncatalyzed reaction

茜素紫浓度增大,反应速度呈线性增加(图 5)。 考虑到空白不宜过大,实验 中 采用 $3.75 \times 10^{-5}$  mol/L.

2.3 温度 温度对反应速度的影响如图 6.

因 
$$v = -\frac{\mathrm{d}A}{\mathrm{d}t} = \varepsilon b \left( -\frac{\mathrm{d}C}{\mathrm{d}t} \right), \quad -\frac{\mathrm{d}C}{\mathrm{d}t} = k\Pi_{c}$$

式中, $\Pi_c$ 为指示反应中各反应物浓度的乘积。

根据 Arrhenius 公式:

$$\ln k = -\frac{E}{RT} + B$$

得:

$$\ln v = \ln k + \ln z = -\frac{E}{RT} + B'$$

式中, $z = \varepsilon b \Pi_c$ 。在一定条件下, 茜素紫的摩尔吸光系数  $\varepsilon$ , 液层厚度 b 及反应物的初始 浓度都是常数,故 $\ln z$  可归入常数项中,即  $B' = B + \ln z$ 。

同理,对于催化反应, $-\frac{\mathrm{d}C}{\mathrm{d}t}=k_{\mathbf{x}}\Pi_{\mathbf{c}}(\mathrm{Pb^{2}}^{+})$ 。当铅的浓度一定时,也可得:

$$\ln v_{K} = -\frac{E_{K}}{RT} + B'_{K}$$

故  $\ln \nu$  与 1/T 呈线性。图 7 为  $\lg \nu$  与 1/T 的关系。用最小二乘法求出两直线之方程式分别为:

非催化反应 
$$\lg v = 7.725 - 3277.8 \ 1/T$$
 催化反应  $\lg v_x = 5.680 - 2545.6 \ 1/T$ 

由 Arrhenius 公式可知,此直线之斜率为  $-\frac{E}{2.303RT}$ ,由此求出反应的表观活化能

E=62.76KJ/mol;  $E_{K}=48.74$ KJ/mol; 催化剂使反应的活化能降低14.02KJ/mol.

### 3. 工作曲线

可用初始速度法和固定时间法。用初始速度法所得的工作曲线(图 8)在 $\leq$ 1.5 $\mu$ g/ml 有较好的线性。图 9 给出固定时间为 100s 和 200s 时的 工作 曲线,其线性 范围为  $\leq$ 0.3 $\mu$ g/ml Pb²+。取固定时间为 200s 的数据,用最小二乘法求出其校正函数的回归方程为。

$$\Delta A = 1.255C - 0.0002$$

从而得出分析函数为。 $C = 0.797 \Delta A + 0.00016$ 

对校正函数按文献 [11] 作统计处理, 可求出置信区间。取  $\alpha=0.01$ , 因 n=7, 查

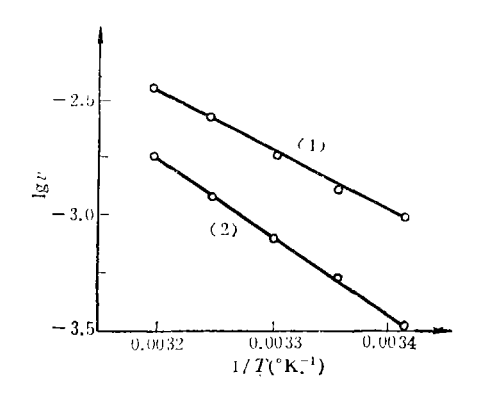


图 7 lgv 与 1/T 的关系
Fig. 7 Relation between lgv and 1/T
(1) Catalyzed reaction

(2) Uncatalyzed reaction

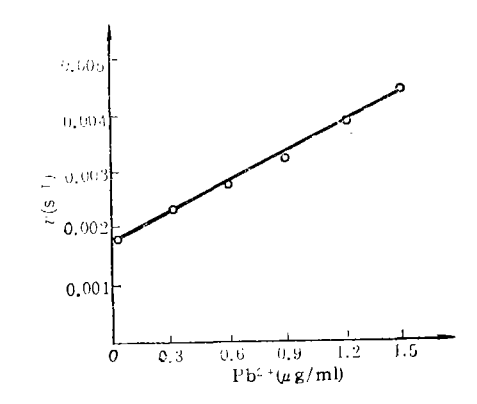
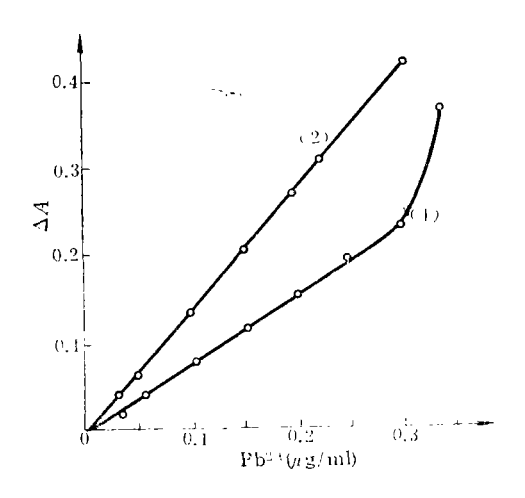
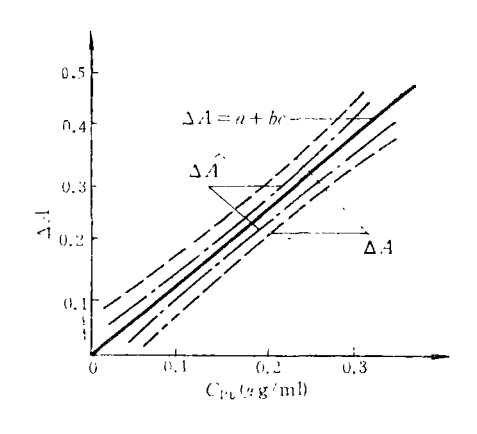


图 8 初始速度法的校正曲线 Fig. 8 Calibration curve of Pb by

initial rate method





■ 9 固定时间法的校正曲线 (1) 100s; (2) 200s

Fig. 9 Calibration curve of Pb by fixed-time method

图 10 ΔA 的置信区间 Fig. 10 Confidence interval

of  $\Delta A$ 

t 分布表得 $t_{\alpha/2,n-2}=4.03$ ,于是得 $\Delta A$ 的期望值 $\Delta \hat{A}$ 的置信区间及个别值的置信区间分别为。

$$1.255C - 0.0002 - 0.0381\sqrt{0.143 + 20.243(C - 0.14)^{2}}$$

$$<\Delta \widehat{A} < 1.255C - 0.0002 + 0.0381\sqrt{0.143 + 20.243(C - 0.14)^{2}}$$

$$1.255C - 0.0002 - 0.0381\sqrt{1.143 + 20.243(C - 0.14)^{2}}$$

$$<\Delta A < 1.255C - 0.0002 + 0.0381\sqrt{1.143 + 20.243(C - 0.14)^{2}}$$

图10给出此置信区间。同时可得回归系数的期望值的置信区间:

$$-0.0287 < \widehat{a} < 0.0283; 1.074 < \widehat{b} < 1.376$$

接 IUPAC 推荐之灵敏度定义,即是校正曲线之斜率  $b^{[12]}$ ,故本法之灵 敏 度 为  $1.255(\mu g/ml)^{-1}$ 。 文献中常用 A=0.001 时的浓度值作为灵敏度。则本法的灵敏度高于目前文献中报道过的任一种铅的催化光度法。

4. 干扰及其消除 对  $0.3\mu g/ml$  铅以相对误差 $\leq 10\%$ 作为标准则  $25\mu g/ml$  K+, Na+, NO<sub>5</sub>,  $8.25\mu g/ml$  Mg<sup>2+</sup>,  $2.5\mu g/ml$  Br<sup>-</sup> 和  $0.05\mu g/ml$  I-均不干扰 测 定。Ag+, Cu<sup>2+</sup>, Cd<sup>2+</sup>, Zn<sup>2+</sup>的干扰较大, 只能容许 $0.3\mu g/ml$ , 其干扰可用掩蔽剂消除。用KCN 可掩蔽  $5.5\mu g/ml$  Zn<sup>2+</sup>,  $6.5\mu g/ml$  Cd<sup>2+</sup>, 用乙二胺掩蔽 可 容 许  $6.5\mu g/ml$  Cu<sup>2+</sup>, 用NH<sub>3</sub>掩蔽可容许 $2.5\mu g/ml$  Ag+, 如用 KCN 则Ag+的容许量可达 $5\mu g/ml$ 。Fe<sup>3+</sup>在不用掩蔽剂时只能容许 $<3\mu g/ml$ ,若用F<sup>-</sup>掩蔽 则 可 容 许  $4.5\mu g/ml$ 。Bi<sup>3+</sup>在 $\leq 3.5\mu g/ml$  时不干扰。

#### 5. 本法之精密度

在实验中所用的各种试剂,都应准确配制和加入。由于在分析实验中测量容积的误差很小,远小于测量吸光度的误差,因而虽然 pH 及试剂浓度对反应浓度均 有 显 著 影

响,但不会引起很大误差。当制作标准曲线与试样测定使用同一瓶试剂溶液时,即使在配制试剂时稍有误差,但由于它同时影响标准与试样,误差是抵消的,故不会引起大的误差。在测试样时,需先将试液调至中性,然后再加入各种 试剂,这是 控制 pH 的关键。

催化法的数据处理有微分法和积分法两种形式,微分法处理简单,而且由于只需测 初速度,故更为快速。但在手控时,对褪色反应常用积分法处理。因为在测初速度时误 差较大,这一缺点为计算机联机所克服。因为计算机可在极短的时间内采集大量数据,因而提高了测量初速度的精度。为此本文实验采用微分法处理。

我们曾测定河水中的铅。水样取自黄浦江支流张家塘。将试样在pH9.5 用双硫腙萃取,然后用pH2—3的硝酸反萃取。用本法测定10次的平均结果为0.076mg/L,相对标准偏差为2.5%。用电热原子吸收法测定10次的平均值为0.080mg/L,相对标准差为15%,两法结果吻合。

用标准加入法测回收, 五次结果的回收率在 95.0—103.3% 之间, 平均回收 率 为 98.1%.

#### 参考文献

- [1] Schroeder H A 著,陈荣三,张祖暄译,1979. 痕量元素与人。科学出版社,北京
- [2] Савицкий В А, Пелещенко В И, Осадчий В И, 1987. ЖАХ, 42(4): 677
- [3] Sneddon J. 1984. Anal. Chem., 56(11): 1982
- (4) Littlejohn D, Stephen S C, Ottaway J M, 1985. Anal. Proc., 22(12): 376
- [5] Mannino S, 1984. Analyst. 109(7):905
- [6] 潘铎、凌家煜。1982. 分析化学, 10(3): 190
- [7] Rukio S, Gomez-Hens A, Valcarcel M, 1984. Analyst, 109(5): 597
- [8] Ясиненене З И, Каленикайте СЭ, 1968. ЖАХ, 23(8):1169
- [9] Tome, 1970. ЖАХ, 25(1): 87
- [10] Anderson R G, Brown B C, 1981. Talanta, 28:365
- [11] Liteanu C, Rica I, 1980. Statistical Theory & Methodology of Trace Analysis. Chichester, Ellis Horwood
- [12] IUPAC, Anal. Chem. Division, Commission on Spectrochem. & Other Optical Procedure for Analysis, 1976. Pure Appl. Chem., 45:99

1989年6月26日收到。

# DETERMINATION OF TRACE AMOUNT OF LEAD BY CATALYTIC KINETIC-PHOTOMETRY USING K<sub>2</sub>S<sub>2</sub>O<sub>8</sub> AND ALIZARIN VIOLET

Gu Zhicheng Zhang Yubei
(Department of Chemistry, Tongji University)

#### **ABSTRACT**

The decoloriration of alizarin violet by the oxidation with  $K_2S_2O_8$  can be catalyzed by lead (Pb<sup>2+</sup>).Based on this, trace amount of lead could be determined by catalytic kinetic-photometry. In a boric acid buffer solution at pH8.2 containing 0.03mol/l  $K_2S_2O_8$  and  $3.75\times10^{-5}$  mol/l alizarin violet, the calibration graph is rectilinear in the range  $\leq 1.5\mu \text{g/ml}$  of lead by initial rate method and  $\leq 0.3$   $\mu \text{g/ml}$  of lead by fixed-time method. The interference of  $Ag^+$ ,  $Cu^{2+}$ ,  $Cd^{2+}$ ,  $Zn^{2+}$  and  $Fc^{3+}$  could be eliminated by masking when their amount is less than 5, 6.5, 6.5, 5.5 and 4.5 $\mu \text{g/ml}$ , respectively. An amount of Bi<sup>3+</sup> more than 3.5  $\mu \text{g/ml}$  interferes the determination.